

## 論 文

## DPCM/RLC方法에 의한 映像데이터減縮

準會員 安昌範\* 正會員 金南哲\*\* 正會員 金在均\*\*\*

## Image Data Compression by a DPCM/ RLC Method

Chang Beom AHN\*, Nam Chul KIM\*\*, and Jae Kyoon KIM\*\*\*, Regular Members

**要 約** 黑白의 두 가지 값만을 갖는 그래픽 데이터縮小에 널리 사용되고 있는 런.LENGTH 코우딩方法을一般的인 映像에適用하였다. 먼저 간단한豫測器와 量子器로豫測誤差信號를 만들 후 여기에 대해서 런.LENGTH 코우딩을 違行하였다. DPCM과 비슷한複雜度를 갖는 이 코우딩方式이 DPCM이나 코사인變換方式보다 標秀함이 밝혀졌다.

**ABSTRACT** The runlength coding algorithm widely used for graphic data compression is extended for multi-level general images. It is applied to the quantized prediction error signal obtained by a simple predictor and quantizer. It is shown that this DPCM/RLC algorithm of a modest complexity performs much better than the conventional discrete cosine transform and DPCM methods.

## 1. 序 論

마르코프(Markov)映像모델을 만족하는 두 가지 값(binary)의 그래픽映像데이터에서는 條件의 런.LENGTH 코우드(conditional runlength code: CRC)가 最適의 데이터減縮方式으로 알려졌다<sup>(1),(2)</sup>. 최근에는 이 CRC方法을 여러 가지 값을 갖는一般的인 映像에適用시키는研究가 행하여졌다<sup>(3),(4)</sup>.

一般的인 映像에서는 주위의 畫素(picture element: pel)들의 값으로써 현재 畫素의 狀態(state)를 分類하게 되면 그 수효가 감당할 수 없을 정도로 많아진다. 그러므로 映像데이터의 分布가 비슷한 狀態들은 한데 묶어 簡略化시킬必要가 있다. 또한一般的인 映像을 受信側에서 再構成하기 위해서는豫測값의 誤差與否의 情報이외에 그 誤差값 자체의 情報가必要하다.

本論文에서研究한 DPCM/RLC 코우딩方法에서는 먼저 간단한豫測方法으로써 誤差信號를 얻

는다. 量子化된 誤差信號는豫測過程과 量子化方法에 따라서 그 統計的特性이變化하지만, 직접적인 엔트로피(entropy) 코우딩보다는 런.LENGTH 코우딩이 더 效果的이다. 本研究에서는豫測誤差信號를 獨立의 映像모델(discrete memoryless source: DMS)로 본 경우의 RLC(런.LENGTH 코우딩) 方式의 特性을 조사하고 이를 단순한 DPCM 方式 및 DCT(discrete cosine transform)變換方法과比較하였다.

## 2. DPCM/RLC의 構成原理

一般的으로 CRC에서는 현재 畫素(picture element)의 주위에 있는 몇 개의 畫素로써 현재 畫素에 대한 狀態(state)를 定義하여 각 狀態마다 發生頻度가 가장 높은豫測값을 CRC方式으로傳送한다<sup>(3)</sup>. 本論文에서는 원래의 畫素를 CRC 코우딩의 對象으로 하는 것이 아니고 일단 線型豫測으로 얻은 誤差信號를 DMS로 가정하고 RLC를適用해 보았다.

이를 위한 DPCM/RLC의 系統圖(block diagram)는 그림 1과 같다. DPCM部分에서는豫測誤差의 統計的分佈를一定하게 하기 위하여 適應式標準化係數(normalization factor) NF를 使用하였다

\*...\*\*\* 韓國科學技術院電氣 및 電子工學科

Dept. of Electrical Engineering, Korea Advanced Institute of Science and Technology Seoul, 131 Korea  
論文番號 : 83-20 (接受 1983. 10. 6)

## (1) 象測器外 量子器

象測器의複雜한 程度는 象測에 使用된 畫素의 갯수에 의하여決定된다. 本研究에서는 그림 2와 같은 簡單한 二次象測器를 使用하여 시스템의複雜度를 줄였으며, 이그림에서 현재 畫素  $x_0$ 의 象測값  $\hat{x}_0$ 는 주변 畫素들의 平均으로 하였다.

$$\hat{x}_0 = \frac{x_1 + x_2}{2} \quad (1)$$

또한 誤差信號  $e_0 \triangleq (x_0 - \hat{x}_0)$ 의 統計的特性를 分類하는 分類係數  $a$ 는 이들 주변 畫素들의 差異값으로 하였다.

$$a = |x_1 - x_2| \quad (2)$$

誤差信號의 分布는 대체로 라플라시안(Lapla-cian)分布에 가까우며 分類係數  $a$ 가 質수록 分散이 큰 것을 알 수 있다. 그러므로 映像데이터를 分類係數의 值이 비슷한 畫素들의 集團으로 分類한 후에 誤差偏差를 각 集團  $C_i$ 에서의 誤差信號의 標準偏差  $\sigma_i$ 로 標準化시기면 標準화된 誤差信號는 비슷한 分散特性을 갖게 될 것이다.

$$C_i \triangleq |x_0, T_{i-1} \leq a < T_i| \quad (3)$$

$$\sigma_i^2 \triangleq E[e_0^2 | C_i] \quad (4)$$

그러나 以上과 같이 分類된 誤差信號들의 標準偏差  $\sigma_i$ 는 量子化雜音이 餘還되는 그림 1의 실제 시스템의 標準偏差와는 差異가 있다. 그리고 每入力畫素에 대한 式(2)의 分類係數는 再生된 畫素들인  $\hat{x}_n$ 에 의해서 구해지므로 標準化係數  $NF$ 는 式(4)의 標準偏差  $\sigma_i$ 보다 值이 높다<sup>[5]</sup>. 보통 8비트의 映像데이터를 하이브리드(hybrid) 모드

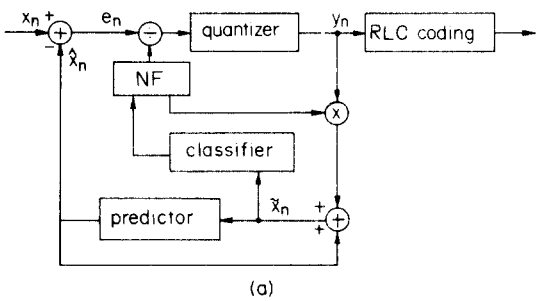


그림 1 (a) DPCM/CRC 부호기  
(b) DPCM/CRC 복호기  
(a) DPCM/CRC encoder.  
(b) DPCM/CRC decoder.

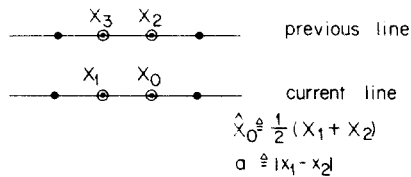


그림 2 現재 畫素의 象測과 分類에 使用된 畫素  
Picture elements used for prediction and classification

동시나 DPCM으로써 1~2bit/pel로 傳送할 때 標準化係數는 이 標準偏差의 1.5~2.0배가 되는 것 으로 알려져 있다<sup>[6]</sup>.

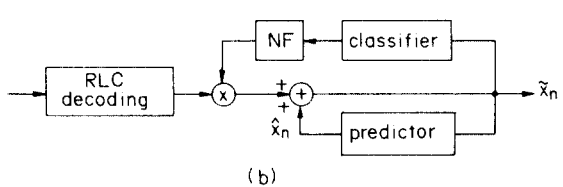
## (2) 象測誤差信號에 대한 RLC (Runlength Coding) 方法

一般的으로 象測誤差信號의 分布에서 現격하게 사수 나타나는 出力이 있을 경우에는 簡単적인 Huffman或ウーリng方法은 非能率的이다. 이러한 경우에 CRC (conditional renlength coding)方式이 效率的임이 잘 알려져 있다<sup>[3]</sup>. 그러나 誤差信號가 주위의 誤差信號成分과 統計的으로 無關하지 않을 경우에는 量子化된 이 誤差信號  $|y_n|$ 은 하나의 DMS (discrete memoryless source)가 되어 단순한 RLC가 通用될 수 있다. 本研究에서는 前節의 象測過程을 거친 誤差信號가 統計的으로 한 DMS信號特성을 가지고 있으므로 간단한 RLC方法을 通用하였다<sup>[7]</sup>.

量子化된 象測誤差信號  $|y_n|$ 은 각 信號值의 發生確率  $P(y_k = y_\kappa)$ 에 따라서 發生頻度가 높은  $Y_d$  (dominant set)와 發生頻度가 낮은  $Y_m$  (minor set)의 두 部分으로 나누면 誤差信號  $|y_n|$ 의 엔트로피  $H(Y)$ 는 다음과 같이 표시될 수 있다<sup>[3]</sup>.

$$H(Y) = - \sum_k P(y_k) \log_2 P(y_k) \\ = H(Q) + Q \cdot H(Y_d) + (1-Q) \cdot H(Y_m) \quad (5)$$

여기에서



$$Q \triangleq \sum_{y_i \in Y_a} P(Y=y_i) \quad (6)$$

$$H(Q) \triangleq -Q \log_2 Q - (1-Q) \cdot \log_2 (1-Q) \quad (7)$$

이다. 式(7)의 바이너리 엔트로피 함수는 發生頻度가 높은 信號值인자의 與否를 확인하는 情報로서 이것이 바로 RLC의 對象이 되는 것이다.

대체로 豫測誤差가 적은 경우에는 式(6)이 發生頻度가 높은 信號值를 한 가지의 값  $y_0$ 로 제한할 수 있다. 이런 경우에는 式(5)가 다음과 같이 줄어든다.

$$H(Y) = H(Q) + (1-Q) \cdot H(Y_m) \quad (8)$$

이 때 式(5)의 두  $Y_a$ 와  $Y_m$ 은 다음과 같이 표시될 수 있다.

$$Y_a \triangleq |y_0|$$

$$Y_m \triangleq |y_i, i \neq 0| \quad (9)$$

상호간 統計的聯關係성이 없는(DMS) 誤差信號  $|y_i|$ 에서 支配的(dominant)信號值  $y_0$ 의 發生情報은 連續的인  $y_0$  즉  $y_0$ 의 런.LENGTH(runlength)의 情報을 런.LENGTH의 平均길이로 平準화한 것과 같다<sup>(1)</sup>. 즉

$$H(Q) = \frac{H(R)}{E(R)} = P \cdot H(R) \quad (10)$$

이다. 여기에서  $H(R)$ 은 차수 나타나는 信號值  $y_0$ 의 런.LENGTH에 대한 엔트로피이며  $E(R)$ 은 이 런.LENGTH의 平均길이를 나타낸다. 그리고<sup>(1)</sup>

$$P \triangleq 1 - Q$$

표 1 主要시스템 파라미터에 따른 DPCM/RLC方式의 性能  
DPCM/RLC performance for various system parameters.

\* 표 2 와 같이 오자신호를 분류할 경우.

No. of quantiza tion levels	$NF_i/\sigma_i$	distortion[dB]		H(Y) (bits/pel)		average codeword length (bits/pel)*
		1 class	3 cla sses*	1 class	3 cla sses*	
3	1.0	-12.6	-13.9	1.21	1.31	1.33
	1.5	-14.7	-15.9	0.91	0.99	1.01
	2.0	-15.3	-15.8	0.70	0.76	0.79
5	1.0	-15.6	-17.6	1.72	1.80	1.85
	1.5	-18.2	-19.2	1.31	1.38	1.46
	2.0	-18.5	-18.4	1.03	1.07	1.13
9	1.0	-18.2	-20.9	2.37	2.42	2.53
	1.5	-21.5	-23.3	1.94	1.93	1.97
	2.0	-22.0	-21.9	1.55	1.57	1.64

$$H(R) = -\frac{1}{P} (P \log_2 P + Q \log_2 Q) \quad (11)$$

$$E(R) = \frac{1}{P} \quad (11)$$

이다.

그러므로 式(8), (10) 및 (11)에 의해서 誤差信號의 엔트로피는 다음과 같이 表現된다.

$$\begin{aligned} H(Y) &= \frac{H(R)}{E(R)} + (1-Q) \cdot H(Y_m) \\ &= \frac{H(R) + H(Y_m)}{E(R)} \end{aligned} \quad (12)$$

여기서  $H(R)$ 은 支配的인 信號值  $y_0$ 의 런.LENGTH 코우딩(RLC)으로써 접근할 수 있는 엔트로피이며  $H(Y_m)$ 은 殘餘信號值 發生確率에 관계가 없으므로 직접적인 엔트로피 코우딩이 效果的인 方法이다.

### 3. 한 試驗映像에 대한 코우딩方式의 性能比較

그림 5의 8비트 黑白映像데이터 GIRL에 대하여 몇 가지 코우딩方式의 性能이 컴퓨터 시뮬레이션으로 조사되었다. 먼저 DPCM/RLC 方式의 特性이 검토된 다음 다른 코우딩方式의 性能과 比較되었다.

표 1은 量子化레벨의 數와 標準化係數等에 따른 해폭, 엔트로피 및 平均코우드의 값이 등을 나타내고 있다. 여기서 量子器로는 均等Laplacian 量子器<sup>(8)</sup>를 使用하였으며 해폭(distortion)은 다음과 같이 標準화된 平均自乘誤差로 定義된다.

$$\text{해폭} = \frac{D}{\sigma^2} = \frac{E[(x_n - \bar{x}_n)^2]}{E[x_n^2]} \quad (13)$$

표 1에서 分類係數  $a$ 의 값에 따라서 세 가지의 集團으로 나누었을 경우가 나누지 않았을 경우보다 1~2dB의 뛰어난 性能을 보인다. 그러나 標準화係數가 커지면 두 性能은 비슷해짐을 알 수 있다. 이것은 標準화係數가 커짐에 따라서 集團

표 2 試驗映像 girl에 대한 DPCM/RLC코우딩의 主要파라미터  
Coder parameters of DPCM/RLC coding designed for test image girl.

집단 $C_i$	$a$	$P(C_i)$	표준편차	$NF_i/\delta_i$
$C_1$	$0 \leq a < 4$	0.41	5.1	2.0
$C_2$	$4 \leq a < 9$	0.29	6.5	2.0
$C_3$	$9 \leq a$	0.30	13.2	2.0

간의 統計的特性의 差異가 줄어들어 適應式標準化係數의 效果가 減少하기 때문이다. 그러나 主觀的인 觀察에 따르면 集團을 나누었을 때가 나누지 않았을 때보다 映像品質이 良好함을 볼 수 있었다. 그리고 標準化係數가 커지면 그레뉼라(granular)雜音은 커지고 출보우트 오우버로우트(slope overload)雜音은 줄어드는데  $NF_i/\sigma_i = 2.0$  일 때까지는 전체 雜音은 減少하고 있다.

세개의 集團으로 나눈 경우에 RLC의 性能이 직접적인 엔트로피 코우팅인 Huffman 코우트보다 훨씬 優秀함을 알 수 있었다. 이 때 使用된 主要 시스템 파라미터는 표 2와 같다. 표 2의 파라미터로 構成한 DPCM/RLC의 性能을 엔트로피와 함께 그림 3에 나타내었다. 여기서 DPCM/RLC는 支配的信號値인  $y_n = y_0$ 의 런행스가 0~19까지는 Huffman 코우팅을 하였고 20以上에 대해서는 이것을 알려주는 接頭코우트와 결이를 나타내는 2진수를 結合한 코우트를 使用하였다. 이 그림에서 DPCM/RLC方式은 量子化出力의 엔트로피에 0.1bit/pel以下로 접근함을 알 수 있다.

다음으로 DPCM/RLC의 性能을 映像데이터의 缩小에 널리 使用되고 있는 變換方式 및 DPCM 方式의 性能과 比較해 보았다. 比較에 사용된 變換符號器는  $16 \times 16$ 의 크기를 갖는 DCT(discrete cosine transform)로 均等Gaussian量子器를 使用하였다. 이 符號器에서의 비트割當은 다음과 같다<sup>(9)</sup>.

$$b_{ij} = \left[ \max\left(\frac{1}{2} \log_2 \frac{\sigma_{ij}^2}{\theta}, 0\right) \right] \quad (14)$$

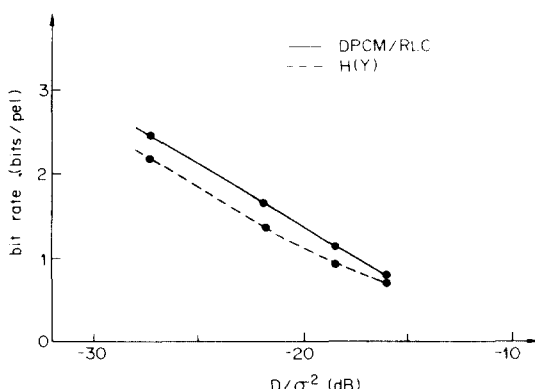


그림 3 均等Laplacian量子器를 사용한 DPCM/RLC의 性能과 DMS엔트로피  
Performance of DPCM/RLC coding using uniform Laplacian quantizer and DMS entropy.

여기서 [•]는 가장 가까운 陰이 아닌 整數를 나타낸다.  $b_{ij}$  및  $\sigma_{ij}^2$ 는  $(i, j)$ 번째의 變換係數에割當되는 비트數 및 分散을 나타내며  $\theta$ 는 한 可變係數로서 이것을 조절하여 전체의 平均傳送率을 一定한 값으로 맞추게 한다. 한편 함께 比較된 DPCM符號器는 映像을 三次의 마르코프 모델로 가정하여 다음과 같이 構成하였다<sup>(10)</sup>.

$$\hat{x}_0 = \rho_R x_1 + \rho_C x_2 - \rho_R \rho_C x_3 \quad (15)$$

여기서 주위의 信號値  $x_i$ 들은 그림 2와 같으며  $\rho_R = 0.9748$ 은 가로방향 相關係數,  $\rho_C = 0.9518$ 은 세로방향 相關係數를 나타낸다. 이 DPCM에서 標準化係數는  $NF = 1.5\sigma_e$ 로 하여 均等Laplacian量子器를 使用하였다.

이 세 가지 코우팅方式에 대하여 原映像과 再構成된 映像에 대한 標準화된 塞普誤差(NMSE)를 尺度로 한 傳送率을 標本映像의 統計的特性에 대한 RDF(rate-distortion function)上限線<sup>(7)</sup>과 함께 그림 4에 나타내었다. 이 그림에서 보면 傳送率이 1bit/pel인 경우에 DPCM/RLC는 DCT보다 2dB, DPCM보다 6dB以上의 뛰어난 性能을 나타내고 2bit/pel에서 두 코우트보다 3dB以上의 좋은 性能을 가지고 있다. 한편 DPCM/RLC의 性能은 RDF의 上限線과 比較해 보면 0.5bit/pel以上의 差異가 나는데 그 원인은 주로 DPCM部分의 量子器의 統計的모델과 실제 데이터간의 差異, 그리고 간단한 象測器構成에 기인한다고 생각된다. 컴퓨터 시뮬레이션에 의하면 量子器의 不一致가 너끈 영향을 미침을 알 수 있었다.

主觀的인 映像의 品質을 比較하기 위하여 1bit

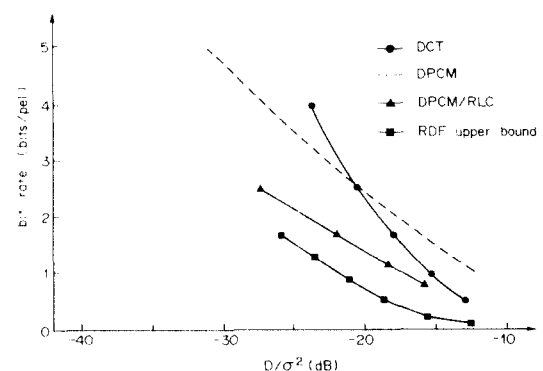


그림 4 標準화된 塞普誤差를 尺度로 한 DPCM/RLC, DCT 및 DPCM의 性能比較  
Performance comparison for DPCM/RLC, DCT, and DPCM.



그림 5 여러 가지 코우팅方式에 의하여 再構成된 映像들  
Reconstructed images for different coding algorithms.

/pel 및 2bit/pel에서 再構成한 映像을 그림 5에 나타내었다. 1bit/pel에서 DPCM/RLC로 再構成한 映像是 비록 벽면에 다소 흠이 있기는 하나 가장 좋은品質을 가지고 있다. 다음으로는 DCT에 의한 映像이 좋지만 높은 周波數成分을 傳送하지 않기 때문에 윤곽이 뚜렷하지 않다. DPCM에 의하여 再構成된 映像是 상당히 눈에 거슬리는 왜곡을 포함하고 있다. 2bit/pel에서도 여전히 DPCM/RLC로 再構成된 映像이 가장 優秀함을 알 수 있다. 이 傳送率에서 DPCM은 DCT와 거의 비슷한 映像品質을 갖는데 이 結果는 그림 4의 標準化된 제곱誤差尺度와도 잘一致하고 있다.

#### 4. 結 論

黑白의 두 가지 값만을 갖는 그래픽 데이터減縮에 널리 使用되는 RLC(runlength code) 코우팅方法을一般的인 映像에 適用시켜 보았다. 映像信號에 직접 適用하지 않고 간단한 象測器와 量子器로써 얻은 誤差信號에서 發生確率이 높은 支配의인 信號值에 대해서 RLC를 適用하였다.

試驗映像에 대해서 傳送率이 1.0bit/pel의 낮은 경우에는 RLC方式이 직접적인 엔트로피 코우팅方式보다 월씬 性能이 優秀함을 알 수 있었다. 그리고 DCT나 DPCM의 性能과 比較해 보면 3 dB 이상의 좋은 性能을 보이며 主觀的인 判斷에 있어서도 가장 映像品質이 優秀함을 알 수 있었다.

#### 參 考 文 献

- (1) J. K. Kim and P. Segin, "Conditional incremental-runlength code based on two-dimensional Markov model," IEEE Trans. Commun., vol. COM-29, pp. 1527-1532, Oct. 1981.
- (2) D. Preuss, "Comparison of two-dimensional facsimile coding schemes," in 1975 Int. Conf. Commun. Rec., pp. 7. 12 - 7. 15, June 1975.
- (3) J. K. Kim, K. H. Kim and N. C. Kim, "Conditional runlength coding for multilevel graphic image," Proc. IEEE, vol. 70, pp. 1238 - 1240, Oct. 1982.
- (4) K. H. Kim, S. B. Kim and J. K. Kim, "Conditional runlength coding for picture image," in 1982 IEEE Glob. Telecom. Conf. Rec., vol. 2, pp. C7.7.1 - C7.7.3, Nov. 1982.
- (5) J. B. O'neal and T. R. Natarajan, "Coding isotropic images," IEEE Trans. Inform. Theory, pp. 697 - 707, Nov. 1977.

- (6) 安宰寧, “DCT/DPCM複合減縮方法의 性能 改善에 관한 研究,” 韓國과학기술원 석사학위 논문, 1983.
- (7) 安昌範, “映像데이터에 대한 rate-distortion 函數와 데이터  
減縮方式의 性能比較,” 韓國과학기술원 석사학위 논문, 1983.
- (8) W. C. Adams and C. E. Giesler, “Quantizing characteristics  
for signals having Laplacian amplitude PDF,” IEEE Trans.  
Commun., vol. COM-26, pp. 1295 - 1297, Aug. 1978.
- (9) J. J. Y. Huang and P. M. Schultheiss, “Block quantization of  
correlated Gaussian random variables,” IEEE Trans. Com-  
mun. Syst., pp. 289 - 296, Sep. 1963.
- (10) A. Habibi, “Two-dimensional Bayesian estimate of images,”  
Proc. IEEE, vol. 60, pp. 878 - 883, July. 1972.

**安 昌範 (Chang Beom AHN)** 正會員  
1958年 4月16日生



1981年 2月 : 杜威大學校工科大學電子工  
學科卒業  
1983年 8月 : 韓國科學技術院電氣工程  
子工學科卒業(工學碩士)  
1983年 9月 ~ 現在 : 韓國科學技術院電氣  
工程電子工學科(博士  
過程)

**金 南哲 (Nam Chul KIM)** 正會員  
1955年 7月29日生



1978年 2月 : 杜威大學校工科大學電子工  
學科卒業  
1980年 2月 : 韓國科學技術院電氣工程  
子工學科卒業(工學碩士)  
1980年 3月 ~ 現在 : 韓國科學技術院電氣  
工程電子工學科(博士  
過程)

**金 在 均 (Jae Kyoong KIM)** 正會員  
1939年 9月17日生



1961年 12月 : 韓國航空大學電子工學科卒  
業  
1967年 2月 : 杜威大學校工學院電子工學  
科卒業(工學碩士)  
1969年 5月 : 美國麻省理工理工大學電子工  
學碩士  
1971年 9月 : 美國南卡羅萊納大學(工  
學博士)

1962年 ~ 1966年 : 空軍將校

1972年 ~ 1973年 : 美國NASA/GSFC研究員

1973年 ~ 現在 : 韓國科學技術院教授

本學會當任理事, 研究調查委員會委員長